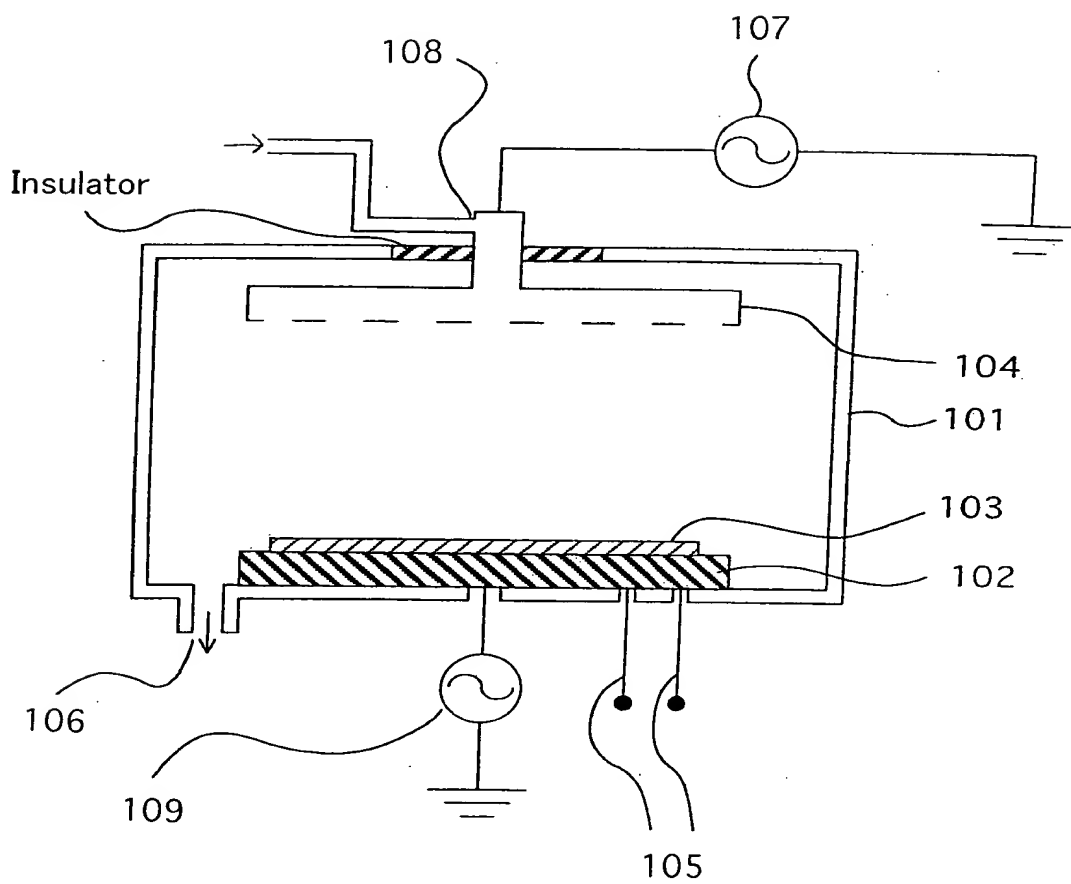
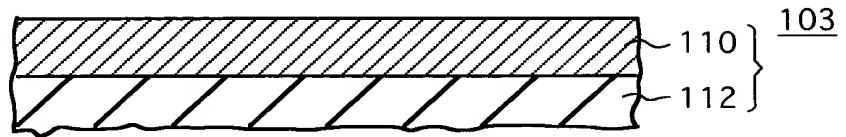


FIG. 1



09988585-112001

FIG. 2A



Processing with Plasma



FIG. 2B

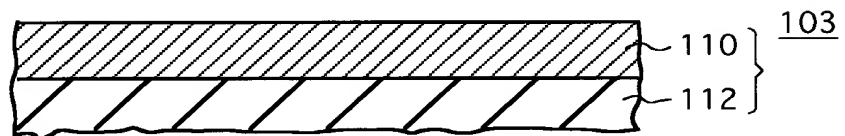


FIG. 2C

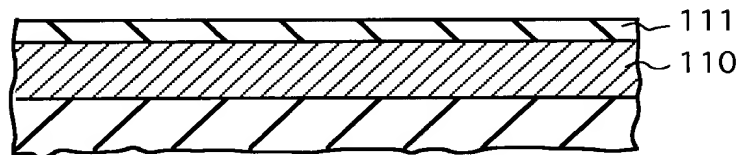


FIG. 3

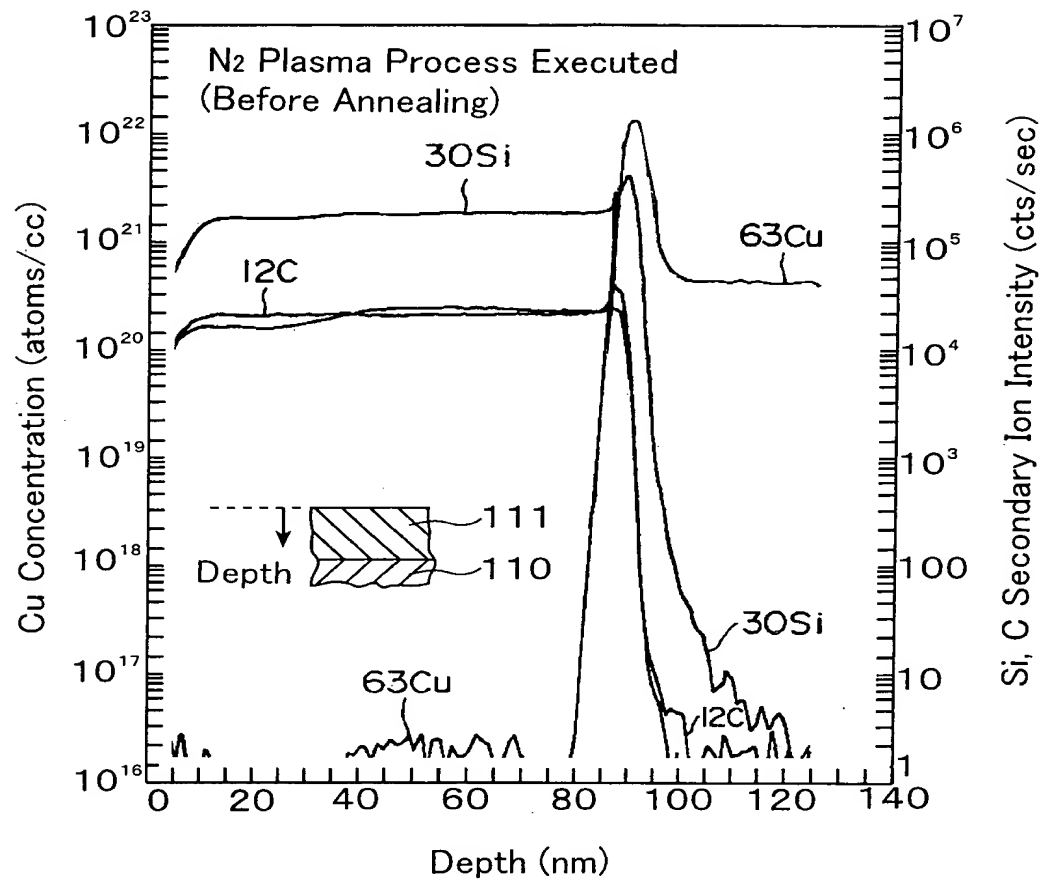


FIG. 4

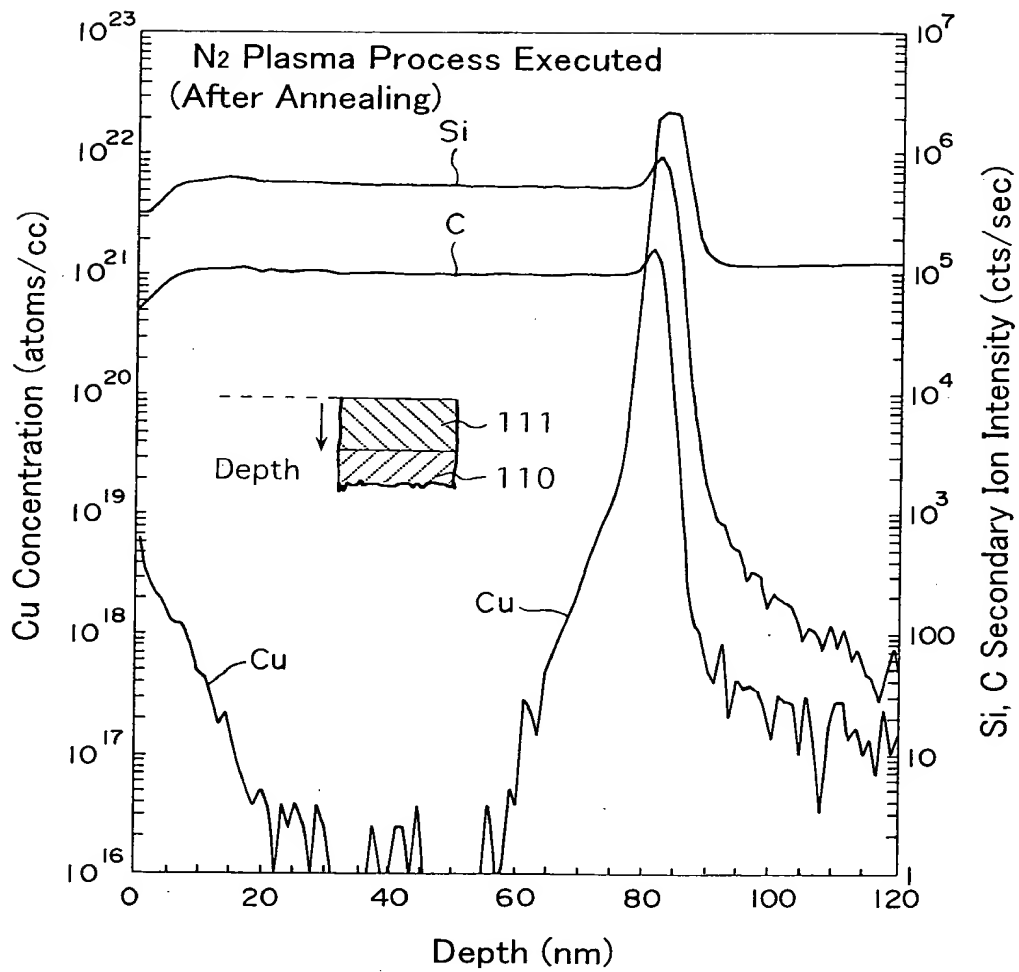


FIG. 5

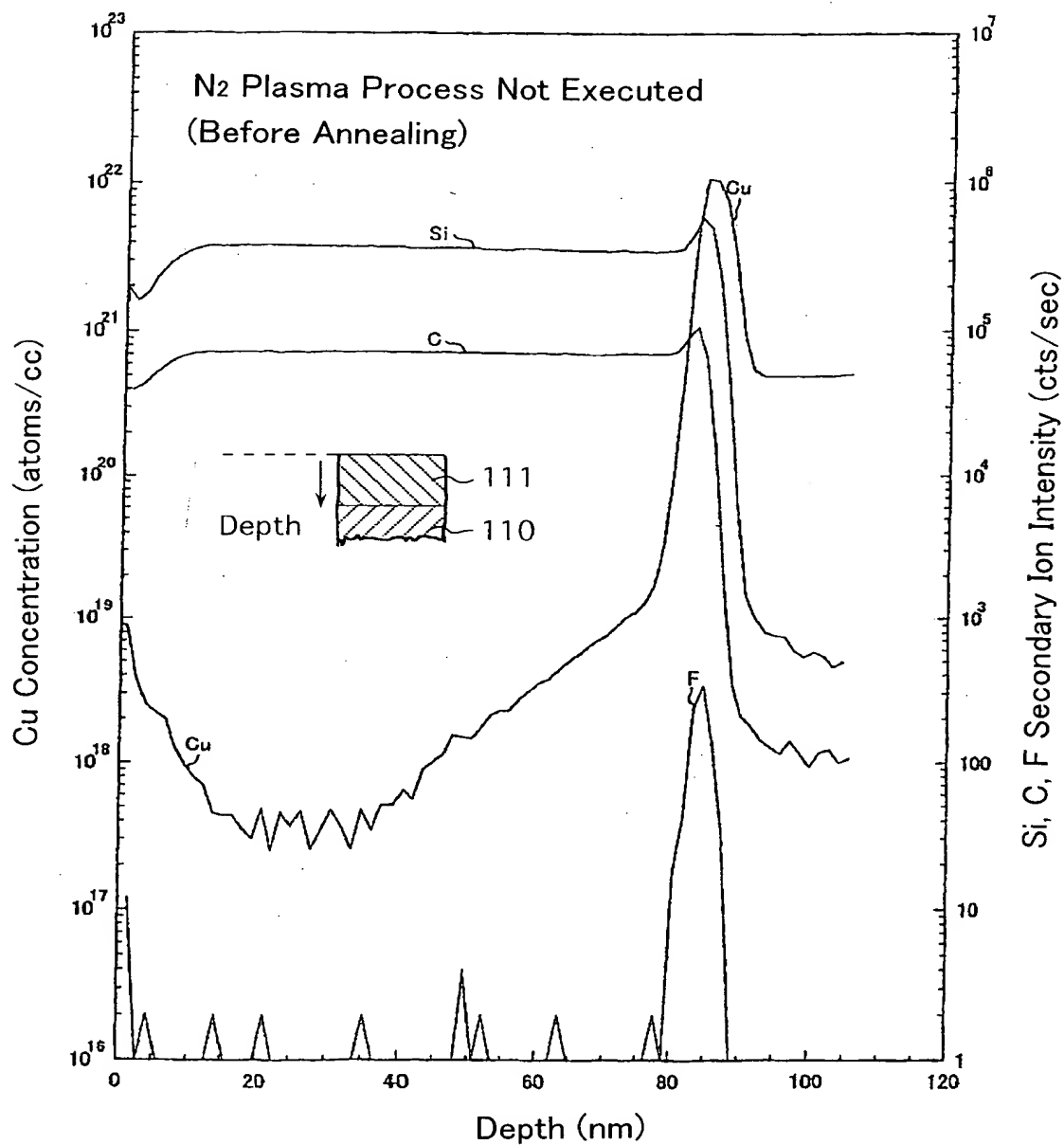


FIG. 6

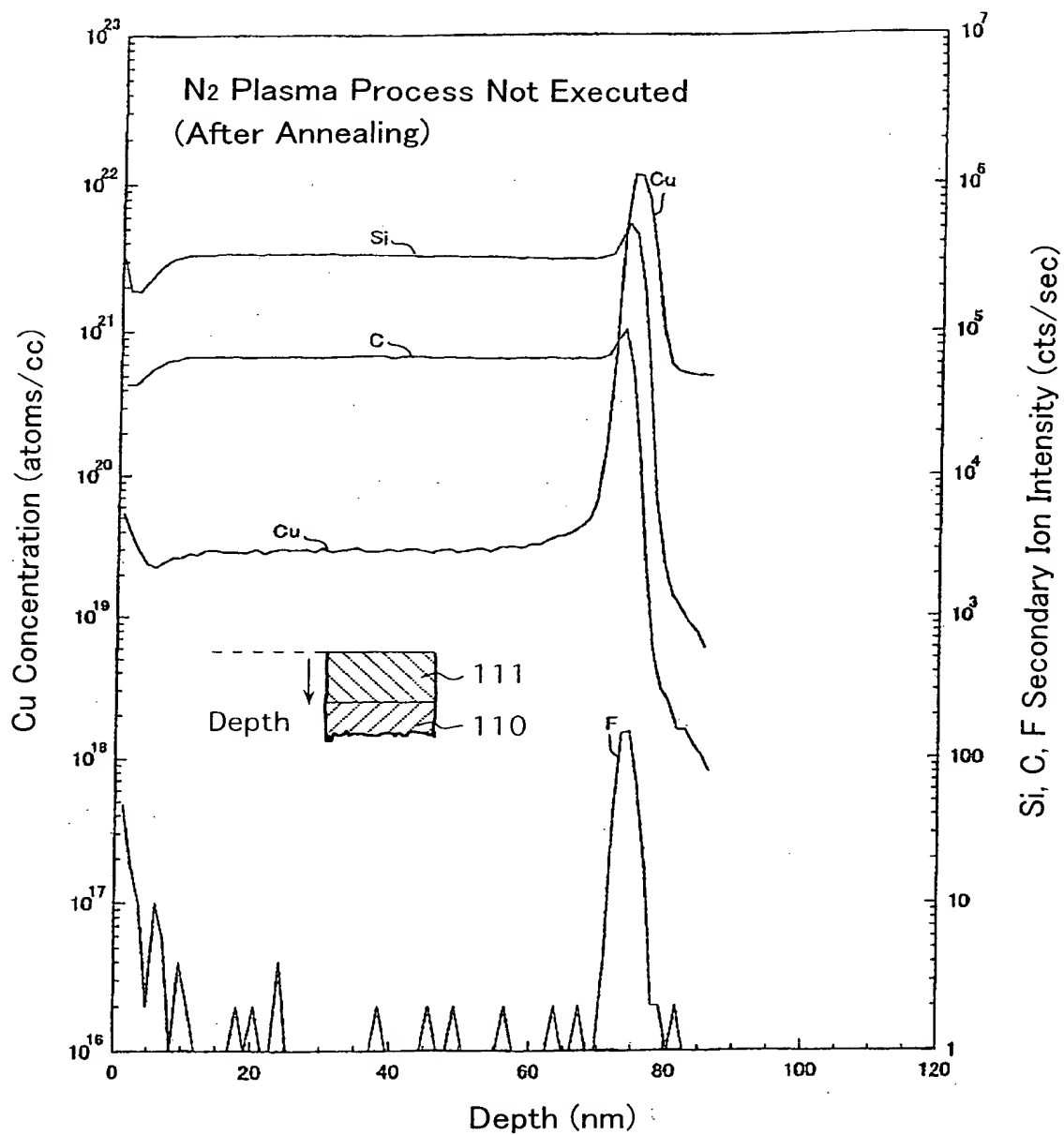


FIG. 7A

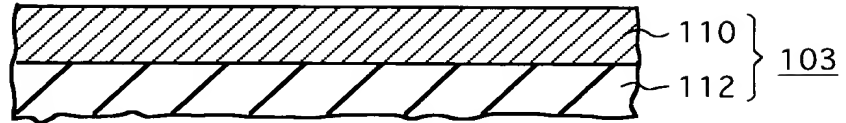


FIG. 7B

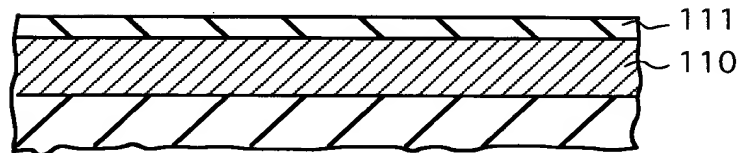


FIG. 7C

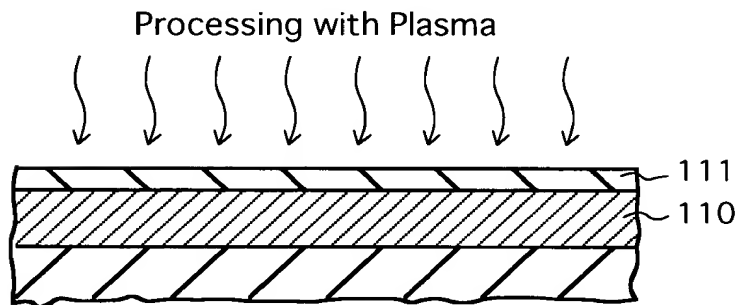


FIG. 8

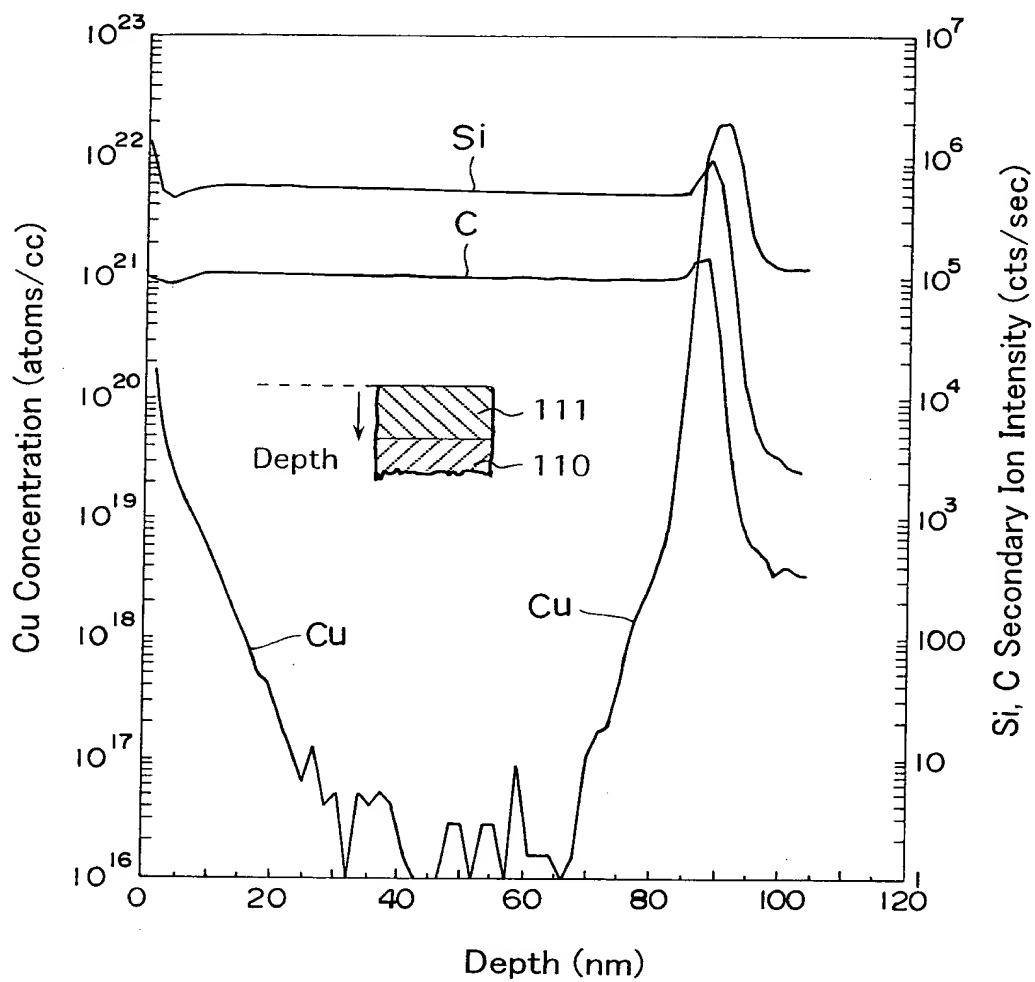
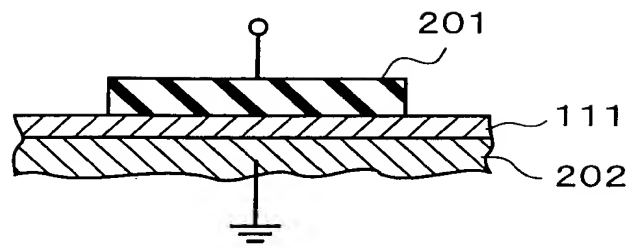




FIG. 9



09988685.112001



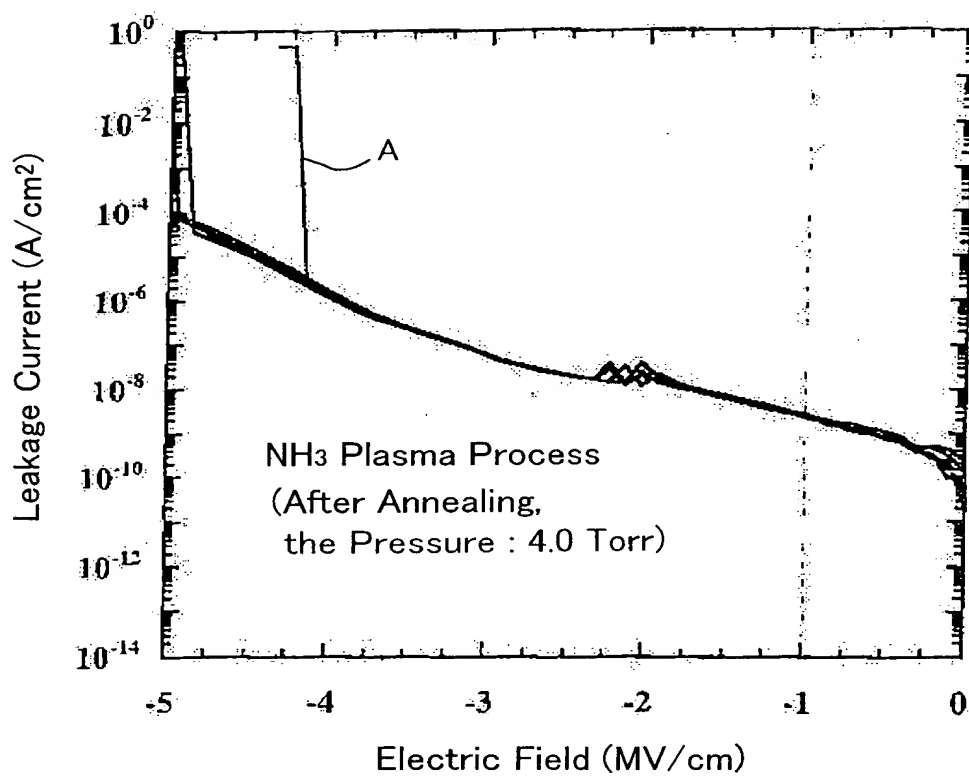


FIG. 12A

FIG. 12A

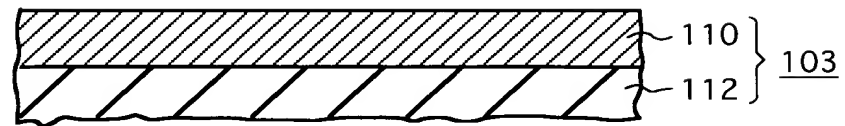


FIG. 12B

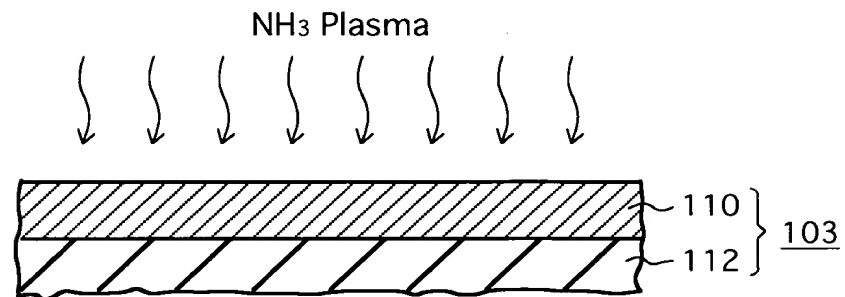


FIG. 12C

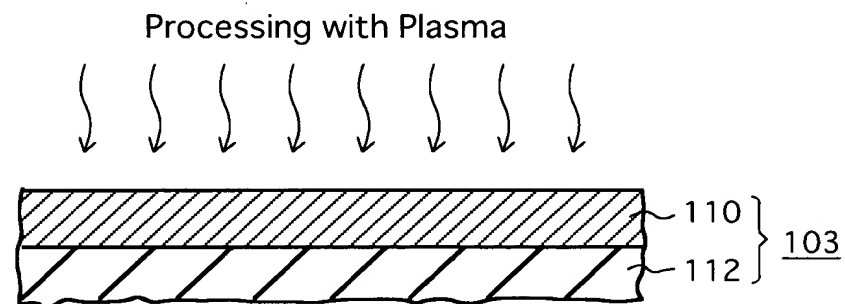


FIG. 12D

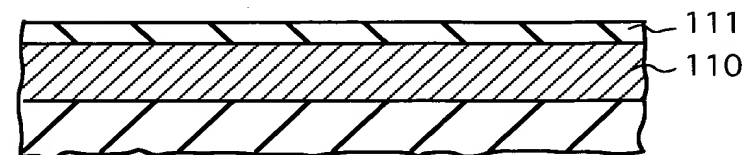


FIG. 12E

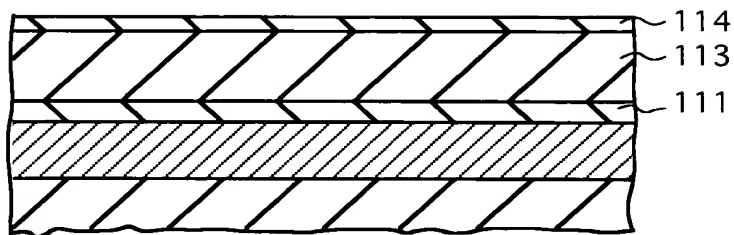


FIG. 12F

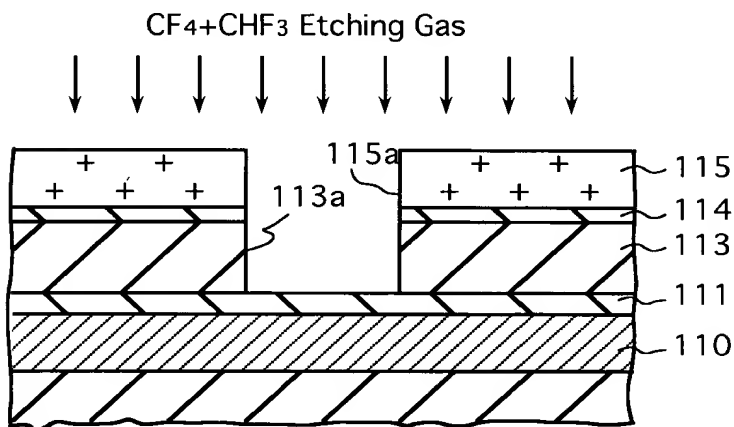
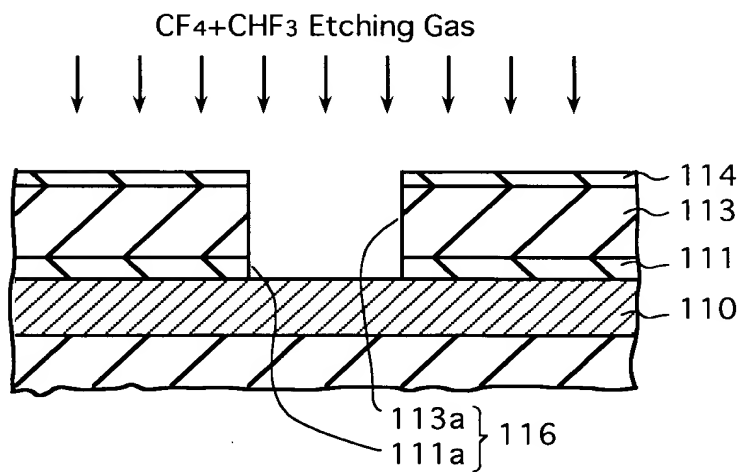


FIG. 12G



09988585.112001

FIG. 12H

